

Инструкция по работе с программой
Численный метод решения совмещенной обратной задачи
для уравнений мелкой воды.

В настоящей работе приведена программа, предназначенная для вычисления формы начального возмущения $q(x, y)$ водной поверхности в задаче распространения длинных волн в мелкой воде

$$\begin{cases} \eta_t = \operatorname{div}(gH(x, y) \operatorname{grad} \eta), & t > 0, \\ \eta(x, y, 0) = q(x, y), \quad \eta_t(x, y, 0) = 0, & (x, y) \in \Omega := (0, L_x) \times (0, L_y), \\ \eta|_{\partial\Omega} = 0. \end{cases} \quad (1)$$

по двум типам данных:

(1) точечные измерения отклонения водной поверхности от состояния равновесия

$$\eta(x_m, y_m, t) = f_m(t), \quad (x_m, y_m) \in \Omega, \quad m = 1, \dots, M, \quad (2)$$

(2) и измерения отклонения водной поверхности в фиксированный момент времени на части области $\omega \subseteq \Omega$

$$\eta(x, y, T) = f(x, y), \quad \omega \subseteq \Omega, \quad \omega := (I_x^{(1)}, I_x^{(2)}) \times (I_y^{(1)}, I_y^{(2)}). \quad (3)$$

В программе (на усмотрение пользователя) могут быть решены три обратные задачи определения функции $q(x, y)$ из класса $q(x, y) = \sum_{k=1}^K q_k(x) \sin \frac{2\pi ky}{L_y}$ из системы (1) по данным

- вида (2) – обратная задача 1 [1];
- вида (3) – обратная задача 2 [2];
- совмещенным данным (2) + (3) – совмещенная обратная задача [3].

Для анализа некорректности обратных задач для фиксированного коэффициента Фурье k применяется метод сингулярного разложения матриц дискретных аналогов операторов обратных задач 1, 2 и совмещенной обратной задачи. Характер убывания сингулярных чисел показывает степень некорректности задачи: чем больше стремление к нулю сингулярных чисел, тем выше степень некорректности соответствующей обратной задачи.

Шаг 1. Запускаем файл *Interface_CombinedITP.exe*. Заполняем параметры области Ω в километрах (L_x и L_y), время вычислений распространения волны в секундах (T) так, чтобы волна не успела дойти до границ области Ω . Задаем параметры равномерной сетки в километрах (h_x и h_y) и функцию, описывающую рельеф дна в километрах $H(x, y)$ в файле в виде

$$\begin{array}{ccc} x_0 & y_0 & H_{00} \\ x_0 & y_1 & H_{01} \\ \dots & \dots & \dots \\ x_0 & y_{N_y} & H_{0N_y} \\ \vdots & \vdots & \vdots \\ x_{N_x} & y_0 & H_{N_x 0} \\ \dots & \dots & \dots \\ x_{N_x} & y_{N_y} & H_{N_x N_y} \end{array} \quad (4)$$

Здесь $N_x = L_x / h_x$, $N_y = L_y / h_y$.

Шаг 2. Задаем параметры точного решения $q_T(x, y) = H_{\max} + q_1(x) \cdot q_2(y)$, где

$$q_1(x) = \begin{cases} 0.5A_+ \left(\cos \frac{\pi(2x-L_x+A_1)}{A_1} + 1 \right), & x \in \left(\frac{L_x}{2} - A_1, \frac{L_x}{2} \right), \\ -0.5A_- \left(\cos \frac{\pi(2x-L_x-A_2)}{A_2} + 1 \right), & x \in \left(\frac{L_x}{2}, \frac{L_x}{2} + A_2 \right); \end{cases}$$

$$q_2(y) = \begin{cases} 0.5 \left(\sin \frac{\pi(y-(\varepsilon+L_y)/2+A_3)}{\varepsilon} + 1 \right), & x \in \left(\frac{L_y}{2} - A_3, \frac{L_y}{2} - A_3 + \varepsilon \right), \\ 1, & x \in \left(\frac{L_y}{2} - A_3 + \varepsilon, \frac{L_y}{2} + A_4 - \varepsilon \right), \\ 0.5 \left(\sin \frac{\pi(y+(\varepsilon-L_y)/2-A_4)}{\varepsilon} + 1 \right), & x \in \left(\frac{L_y}{2} + A_4 - \varepsilon, \frac{L_y}{2} + A_4 \right). \end{cases} \quad (5)$$

Здесь A_+ - амплитуда поднятия начального возмущения (в программе «Амплитуда + (м)»), A_- - амплитуда опускания начального возмущения (в программе «Амплитуда - (м)»), H_{\max} - наибольшая средняя глубина водоема.

Также пользователь может сгладить полученное возмущение (сглаживание по 3-м точкам в каждом направлении), поставив галочку в пункте «Сглаживание».

Шаг 3. Выбираем тип обратной задачи 1, 2 или совмещенная. При выборе «Обратная задача 1» или «Совмещенная обратная задача» заполняем данные обратной задачи 1:

- количество датчиков M ;
- радиус измерения датчика в метрах (малая окрестность, в которой измерения предполагаются известными);
- начало (x_1, y_1) и конец (x_2, y_2) линии расположения датчиков в области Ω .

Optimization method for solving inverse tsunami problem

Расчетная область: L_x (км): 50, L_y (км): 100, T (сек): 150

Параметры сетки: h_x (м): 83, h_y (м): 200

Функция дна: Обзор, Файл не выбран!

Параметры точного решения: Амплитуда + (м): 8, Амплитуда - (м): 3, Сглаживание: ☐

$A1$ (м): 1500, $A2$ (м): 500, $A3$ (м): 30000, $A4$ (м): 30000, Eps (м): 5000

Данные обратной задачи 1: Количество датчиков: 6, Радиус измерений (м): 125, Начало и конец линии датчиков (км): $x_1 = 37$, $y_1 = 15$, $x_2 = 46$, $y_2 = 85$

Данные обратной задачи 2: Область измерений (км): $L_{x_min} = 5$, $L_{y_min} = 40$, $L_{x_max} = 20$, $L_{y_max} = 60$

Параметры начального приближения для метода оптимизации: Амплитуда + (м): 1.0, Амплитуда - (м): 0.5, Eps (м): 6500, $A1$ (м): 4000, $A2$ (м): 2000, $A3$ (м): 25000, $A4$ (м): 25000

Выбор обратной задачи: ☒ Обратная задача 1, ☐ Обратная задача 2, ☐ Совмещенная обратная задача

Анализ сингулярных чисел: Количество коэффициентов Фурье: 3, Коэффициенты Фурье: 1.5, 15

Метод сопряженных градиентов: Уровень погрешности в данных (%): 3, Количество итераций: 10

Решить

При выборе «Обратная задача 2» или «Совмещенная обратная задача» заполняем данные обратной задачи 2:

- область $\omega \subseteq \Omega$.

Optimization method for solving inverse tsunami problem

Расчетная область: L_x (км): 50, L_y (км): 100, T (сек): 150

Параметры сетки: h_x (м): 83, h_y (м): 200

Функция дна: Обзор, Файл не выбран!

Параметры точного решения: Амплитуда + (м): 8, Амплитуда - (м): 3, Сглаживание: ☐

$A1$ (м): 1500, $A2$ (м): 500, $A3$ (м): 30000, $A4$ (м): 30000, Eps (м): 5000

Данные обратной задачи 1: Количество датчиков: 6, Радиус измерений (м): 125, Начало и конец линии датчиков (км): $x_1 = 37$, $y_1 = 15$, $x_2 = 46$, $y_2 = 85$

Данные обратной задачи 2: Область измерений (км): $L_{x_min} = 5$, $L_{y_min} = 40$, $L_{x_max} = 20$, $L_{y_max} = 60$

Параметры начального приближения для метода оптимизации: Амплитуда + (м): 1.0, Амплитуда - (м): 0.5, Eps (м): 6500, $A1$ (м): 4000, $A2$ (м): 2000, $A3$ (м): 25000, $A4$ (м): 25000

Выбор обратной задачи: ☐ Обратная задача 1, ☒ Обратная задача 2, ☐ Совмещенная обратная задача

Анализ сингулярных чисел: Количество коэффициентов Фурье: 3, Коэффициенты Фурье: 1.5, 15

Метод сопряженных градиентов: Уровень погрешности в данных (%): 3, Количество итераций: 10

Решить

В данные можно внести уровень погрешности в виде белого шума, задав его в процентах. Отметим, что одна и та же погрешность соответствует данным вида (2) и (3).

Шаг 4. Задаем начальное приближение $q_0(x, y)$ для метода сопряженных градиентов, аналогично заданию точного решения $q_T(x, y)$ с использованием формул (5).

Optimization method for solving inverse tsunami problem

Расчетная область: L_x (км): 50, L_y (км): 100, T (сек): 150

Параметры сетки: h_x (м): 83, h_y (м): 200

Функция дна: Обзор, Файл не выбран!

Параметры точного решения: Амплитуда + (м): 8, Амплитуда - (м): 3, Сглаживание: ☐

A1 (м): 1500, A2 (м): 500, A3 (м): 30000, A4 (м): 30000, Ерр (м): 5000

Данные обратной задачи 1: Количество датчиков: 6, Радиус измерений (м): 125, Начало и конец линии датчиков (км): x₁ = 37, y₁ = 15, x₂ = 46, y₂ = 85

Данные обратной задачи 2: Область измерений (км): L_{x_min} = 5, L_{y_min} = 40, L_{x_max} = 20, L_{y_max} = 60

Параметры начального приближения для метода оптимизации: Амплитуда + (м): 1.0, Амплитуда - (м): 0.5, Ерр (м): 6500, A1 (м) = 4000, A2 (м) = 2000, A3 (м) = 25000, A4 (м) = 25000

Выбор обратной задачи: ☒ Обратная задача 1, ☐ Обратная задача 2, ☐ Совмещенная обратная задача

Анализ сингулярных чисел: Количество коэффициентов Фурье: 3, Коэффициенты Фурье: 1.5, 15

Метод сопряженных градиентов: Уровень погрешности в данных (%): 3, Количество итераций: 10

Решить

Шаг 5. Задаем количество коэффициентов Фурье k и номера коэффициентов Фурье через «;» для вычисления сингулярных чисел выбранной обратной задачи.

Optimization method for solving inverse tsunami problem

Расчетная область: L_x (км): 50, L_y (км): 100, T (сек): 150

Параметры сетки: h_x (м): 83, h_y (м): 200

Функция дна: Обзор, Файл не выбран!

Параметры точного решения: Амплитуда + (м): 8, Амплитуда - (м): 3, Сглаживание: ☐

A1 (м): 1500, A2 (м): 500, A3 (м): 30000, A4 (м): 30000, Ерр (м): 5000

Данные обратной задачи 1: Количество датчиков: 6, Радиус измерений (м): 125, Начало и конец линии датчиков (км): x₁ = 37, y₁ = 15, x₂ = 46, y₂ = 85

Данные обратной задачи 2: Область измерений (км): L_{x_min} = 5, L_{y_min} = 40, L_{x_max} = 20, L_{y_max} = 60

Параметры начального приближения для метода оптимизации: Амплитуда + (м): 1.0, Амплитуда - (м): 0.5, Ерр (м): 6500, A1 (м) = 4000, A2 (м) = 2000, A3 (м) = 25000, A4 (м) = 25000

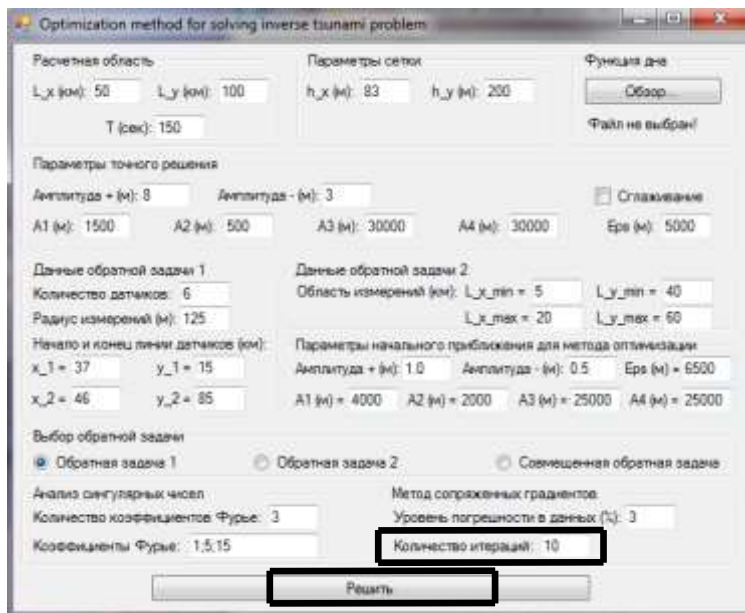
Выбор обратной задачи: ☒ Обратная задача 1, ☐ Обратная задача 2, ☐ Совмещенная обратная задача

Анализ сингулярных чисел: Количество коэффициентов Фурье: 3, Коэффициенты Фурье: 1.5, 15

Метод сопряженных градиентов: Уровень погрешности в данных (%): 3, Количество итераций: 10

Решить

Шаг 6. Задаем количество итераций для метода сопряженных градиентов $q_{n+1} = q_n - \alpha_n p_n$, $p_0 = J'q_0$, где параметр спуска α_n и направление спуска p_n высчитываются по общеизвестным формулам [1]-[3], и нажимаем кнопку «Решить».



Выходные данные – файлы вида (4):

1. Точное решение обратной задачи (начальное возмущение) $q_T(x, y)$ *Model_InitSurf.dat*.
2. Данные обратной задачи:
 - а. При выборе «Обратная задача 1»: файл *Model-DART.dat* с координатами датчиков, файл *Model_f_DART.dat* данных вида (2), записанный по столбцам $t \quad f_1(t) \quad \dots \quad f_M(t)$.
 - б. При выборе «Обратная задача 2»: файл *Model_f_Dirichlet.dat* данных вида (3).
 - с. При выборе «Совмещенная обратная задача»: файлы из пунктов 2а и 2б.
3. Начальное приближение для метода сопряженных градиентов $q_0(x, y)$ *Model_InitSurf_approx.dat*.
4. Приближенное решение обратной задачи (начальное возмущение) $q_n(x, y)$, полученное в результате применения метода сопряженных градиентов *Model_InitSurf_reconstruct_ConjM.dat*. Для удобства выводятся одномерные срезы полученного решения при $y = L_y / 2$ на начальных итерациях $n=0,3,5,7,10,15$ *Model_InitSurf_1D_n=....dat* и конечной итерации *Model_InitSurf_1D_end.dat*.
5. Норма невязки (файлы устроены как « $n \quad \|\cdot\|$ »):
 - а. Для обратной задачи 1: $\|\eta(x_m, y_m, \cdot; q_n) - f_m(\cdot)\|_{L_2(0,T)}$ в файле *NormE_DART.dat*.
 - б. Для обратной задачи 2: $\|\eta(\cdot, \cdot, T; q_n) - f(\cdot, \cdot)\|_{L_2(\Omega)}$ в файле *NormE_Dirichlet.dat*.
 - с. Для совмещенной обратной задачи: $\|\eta(x_m, y_m, \cdot; q_n) - f_m(\cdot)\|_{L_2(0,T)} + \|\eta(\cdot, \cdot, T; q_n) - f(\cdot, \cdot)\|_{L_2(\Omega)}$ в файле *NormE_Common.dat*.
6. Энергетическая норма $\left| \iint_{\Omega} q_n(x, y) dx dy - \iint_{\Omega} q_T(x, y) dx dy \right|$ в файле *NormEnergy.dat*.
7. Относительная погрешность $\|q_n - q_T\|_{L_2(\Omega)} / \|q_T\|_{L_2(\Omega)}$:
 - а. Обратная задача 1: *NormQ_DART.dat*.
 - б. Обратная задача 2: *NormQ_Dirichlet.dat*.
 - с. Совмещенная обратная задача: *NormQ_Common.dat*.

8. Сингулярные числа дискретного аналога оператора обратной задачи 1 (*Singular_values_Dart.dat*), обратной задачи 2 (*Singular_values_Dirichlet.dat*) и совмещенной обратной задачи (*Singular_values_Common.dat*). Формат файлов: номер сингулярного числа, синг.число для k_1 , синг.число для k_2 , ..., синг.число для k_K . Здесь K – количество заданных коэффициентов Фурье.

Замечание 1. Файл *OMITP.exe* является расчетным и запускается автоматически после нажатия кнопки «Решить». Запускать отдельно его НЕ РЕКОМЕНДУЕТСЯ!

Замечание 2. Для удобства просмотра графиков в формате *.eps используется программа Gnuplot. Файлы *Plot2D.plt* и *Plot3D_result.plt* генерируют двумерные и трехмерные графики выходных данных, соответственно. Отметим, что данные файлы записаны для примера, установленного по умолчанию в программе; при замене примере нужно внутри этих файлов изменить записываемые названия по аналогии.

Список литературы:

- [1] S.I. Kabanikhin, M.A. Bektemesov, D.B. Nurseitov, O.I. Krivorotko, A.N. Alimova. An optimization method in the Dirichlet problem for the wave equation // Journal of Inverse and Ill-Posed Problems, V. 20, N. 2, 2012, pp. 193-211.
- [2] S.I. Kabanikhin, A. Hasanov, I.V. Marinin, O.I. Krivorotko, D. Khidasheli. A variational approach to reconstruction of an initial tsunami source perturbation // Applied Numerical Mathematics, V. 83, 2014, pp. 22-37.
- [3] S.I. Kabanikhin, O.I. Krivorotko. Optimization approach to combined inverse tsunami problem // Proceedings conference Inverse Problems – from Theory to Applications (IPTA2014), Bristol, UK, 26-28 August, 2014, pp. 102-107.